

# Андрей Чумаков

## Вопрос по выбору: Движение тела в поле центральных гравитационный сил. Вывод законов кеплера

### 1 Введение: минутка истории

Законы, которые будут приведены дальше, представляют собой эмпирические соотношения, полученные Иоганном Кеплером на основе многолетних наблюдений Тихо Браге. Данные соотношения позволили Исааку Ньютону постулировать закон всемирного тяготения, а затем математически показать, что они являются его следствием. Что мы сегодня и сделаем. Исторические формулировки законов:

1. Все планеты Солнечной системы движутся по эллиптическим орбитам, в одном из фокусов эллипса расположено Солнце.
2. За равные промежутки времени радиус-векторы планет, проведенные от Солнца, заметают равные площади
3. Квадраты периодов обращения планет пропорциональны кубам их больших полуосей

Стоит отметить, что мы будем подразумевать под Солнцем (Звездой) - центральное тело с большой массой, а планетой - тело с пренебрежимо малой массой по сравнению с центральным. В общем случае конечно уравнения работают не только на связке Звезда - Планета (Например Планета - Спутник)

### 2 Теория, предварительные действия и расчеты

Закон всемирного тяготения:

$$\vec{F} = -G \frac{m_1 m_2}{|R|} \vec{R}$$

Задача двух тел в приближении  $m \ll M$ :

$$\mu \ddot{\vec{r}} = -G \frac{Mm}{r^3} \vec{r}, \quad \vec{r} = \vec{r}_2 - \vec{r}_1, \quad \mu = \frac{mM}{M+m} \rightarrow m \quad (m \ll M)$$

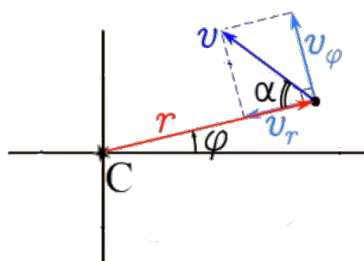


Рис. 1: Движение маломассивного тела, вокруг центрального

Потенциальная энергия в поле тяготения:

$$U(r) = - \int (\vec{F} \cdot d\vec{r}) = - \int_{\infty}^r -G \frac{Mm}{r^2} dr = -G \frac{Mm}{r}$$

Момент импульса сохраняется т.к.:

$$\vec{F} \parallel \vec{r} \rightarrow \vec{F} \times \vec{r} = 0 \rightarrow \vec{L} = m\vec{r} \times \vec{v} = const$$

Закон сохранения энергии выполняется, так как нет неконсервативных сил (центральная сила притяжения - потенциальна):

$$E = K + U = const = \frac{mv^2}{2} + \frac{GMm}{r}$$

Скорость можно разложить на две компоненты. На перпендикулярную радиус-вектору и коллинеарную ему:

$$\begin{aligned} v^2 &= v_r^2 + v_\phi^2 \\ \vec{L} &= m\vec{r} \times \vec{v} = m\vec{r} \times v_\phi \vec{e}_\phi \Rightarrow L = mrv_\phi \Rightarrow v_\phi = r\dot{\phi} \\ v_r &= \dot{r} = \frac{dr}{dt} \end{aligned}$$

Тогда можем переписать выражение для энергии, как:

$$E = \frac{mv_r^2}{2} + \frac{mv_\phi^2}{2} - \frac{GMm}{r} = \frac{m\dot{r}^2}{2} + \frac{L^2}{2mr^2} - \frac{GMm}{r} = const$$

### 3 Вывод Первого закона Кеплера

**Формулировка:** Все планеты Солнечной системы движатся по эллиптическим орбитам, в одном из фокусов эллипса расположено Солнце.

Перепишем приведенный нами выше ЗСЭ:

$$dt = \frac{dr}{\sqrt{\frac{2}{m} \left( E - \frac{L^2}{2mr^2} + \frac{GMm}{r} \right)}} \quad (1)$$

Учитывая, что  $d\phi = \frac{L}{mr^2} dt$ . Подставим вместо  $dt$ , выразив выражение через  $d\phi$ :

$$d\phi = \frac{L}{r^2} \frac{dr}{\sqrt{2m \left( E - \frac{L^2}{2mr^2} + \frac{GMm}{r} \right)}} \quad (2)$$

Теперь будем работать с выражением под корнем в скобках:

$$\begin{aligned} E + \frac{GMm}{r} - \frac{L^2}{2mr^2} - \left( \frac{GMm^{3/2}}{\sqrt{2}L} \right)^2 + \left( \frac{GMm^{3/2}}{\sqrt{2}L} \right)^2 &= \\ = E - \left( \frac{GMm^{3/2}}{\sqrt{2}L} - \frac{L}{r\sqrt{2m}} \right)^2 + \left( \frac{GMm^{3/2}}{\sqrt{2}L} \right)^2 &= \\ = \frac{L^2}{2m} \left( \frac{2mE}{L^2} + \left( \frac{GMm^2}{L^2} \right)^2 - \left( \frac{GMm^2}{L^2} - \frac{1}{r} \right)^2 \right) \end{aligned} \quad (3)$$

Сейчас для простоты и удобства вычислений (интегрирования) мы будем обозначать сложные выражения буквами. Введем обозначение  $p = \frac{L^2}{GMm^2}$ :

$$\begin{aligned} \frac{L^2}{2m} \left( \frac{2mE}{L^2} + \frac{1}{p^2} - \left( \frac{1}{p} - \frac{1}{r} \right)^2 \right) = \\ \frac{L^2}{2m} \left( \frac{1}{p^2} \left( 1 + \frac{2EL^2}{(GM)^2 m^3} \right) - \left( \frac{1}{p} - \frac{1}{r} \right)^2 \right) \end{aligned} \quad (4)$$

Теперь введем обозначение  $e^2 = 1 + \frac{2EL^2}{(GM)^2 m^3}$ , тогда:

$$\frac{L^2 e^2}{2mp^2} \left( 1 - \left( \frac{p}{e} \left( \frac{1}{p} - \frac{1}{r} \right) \right)^2 \right) \quad (5)$$

Произведем еще одну замену  $k = \frac{p}{e} \left( \frac{1}{p} - \frac{1}{r} \right)$ , тогда можем переписать выражение (2) следующим образом:

$$d\phi = \frac{L}{r^2} \frac{dr}{\sqrt{\frac{L^2 e^2}{p^2} (1 - k^2)}} = \frac{p}{er^2} \frac{dr}{\sqrt{1 - k^2}} = \frac{dk}{\sqrt{1 - k^2}} \quad (6)$$

Проинтегрировав получим:

$$\phi + \phi_0 = -\arccos z \Rightarrow z = \frac{p}{e} \left( \frac{1}{p} - \frac{1}{r} \right) = \cos(\phi + \phi_0) \Rightarrow (\phi) = \frac{p}{1 - e \cos(\phi + \phi_0)} \quad (7)$$

Мы получили формулу, которая задает кривые второго порядка в полярных координатах, тоест эллипса, параболы или гиперболы.

$$e = \sqrt{1 + \frac{2EL^2}{(GM)^2 m^3}}, \quad p = \frac{L^2}{GMm^2}$$

Но это просто какие-то обозначения, которые вылезли из формулы для удобства интегрирования, хоть и из выражения, мы знаем, что они значат, давайте получим их напрямую

## 4 Вывод параметров орбиты

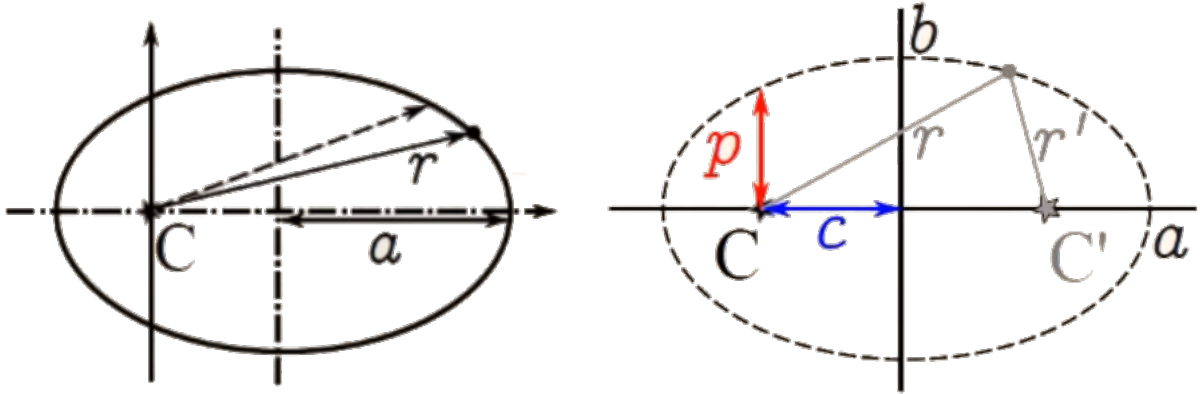


Рис. 2: Параметры эллипса

$$2a = r_q + r_Q$$

В точках апоцентра и переецентра орбиты есть только тангенциальная составляющая скорости, поэтому можем переписать ЗСЭ в виде уравнения и  $r_q$  и  $r_Q$  будут решениями:

$$\epsilon r^2 + GMr - \frac{1}{2}l^2 = 0$$

$$2a = r_q + r_Q = -\frac{GM}{E}$$

Теперь найдем малую полуось исходя из геометрических свойств эллипса:

$$r + r' = const = 2a \rightarrow r_b = a \rightarrow \epsilon = \frac{1}{2}v_b^2 - \frac{GM}{a}, \quad \frac{GM}{a} = -2\epsilon, l = v_b b$$

Получаем:

$$b = \frac{l}{\sqrt{-2\epsilon}} = \frac{L}{\sqrt{-2mE}}$$

Из геометрических соображений:

$$\frac{b^2}{a} = \frac{L^2}{2GMm^2}$$

$$e = \frac{c}{a} = \sqrt{1 - \frac{b^2}{a^2}} = \sqrt{1 + \frac{2EL^2}{(GM)^2 m^3}}$$

Что действительно совпадает с обозначениями введенными ранее

## 5 Вывод формулы для скорости в произвольной точке орбиты

Теперь посмотрим, как же мы все-таки можем легко вычислить скорость в заданной точке орбиты. Запишем ЗСЭ и проведем некоторые преобразования:

$$\frac{mv_1^2}{2} - \frac{GMm}{r_1} = \frac{mv_2^2}{2} - \frac{GMm}{r_2} \quad (8)$$

$$V_{кр} = \sqrt{\frac{GM}{R}}, R = a \Rightarrow \frac{m}{2} * \frac{GM}{a} - \frac{GMm}{a} = \frac{mv_{\Pi}^2}{2} - \frac{GMm}{a * (1 - e)} \Big| * \frac{2}{m}$$

$$\frac{GM}{a} - \frac{2GM}{a} = v_{\Pi}^2 - \frac{2GM}{a * (1 - e)} \Rightarrow v_2^2 = \frac{2GM}{a * (1 - e)} - \frac{GM}{a} \quad (9)$$

$$v_{\Pi}^2 = \frac{2GM}{a * (1 - e)} - \frac{GM * (1 \pm e)}{a * (1 \pm e)} = GM * \frac{2 - (1 - e)}{a * (1 - e)}$$

$$v = \sqrt{GM \left( \frac{2}{r} - \frac{1}{a} \right)} \quad (10)$$

## 6 Вывод второго закона Кеплера

**Формулировка:** за равные промежутки времени радиус-векторы планет, проведенные от Солнца, заметают равные площади. Заметаемая вектором площадь:

$$dS = \frac{1}{2} |d\vec{r} \times \vec{r}|$$

$$\frac{dS}{dt} = \frac{1}{2} |\vec{v} \times \vec{r}| = \frac{L}{2m} = const \Rightarrow S = \frac{L}{2m} t \Rightarrow \frac{S_1}{S_2} = \frac{t_1}{t_2}$$

## 7 Вывод 3 закона Кеплера

**Формулировка:** Квадраты периодов обращения планет относятся как кубы больших полуосей их орбит.

Рассмотрим планету массой  $m$  в двух точках на эллиптической орбите: в перигелии с радиус-вектором  $r_1 = a - c$  и в афелии с радиус-вектором  $r_2 = a + c$ . Запишем законы сохранения момента импульса и энергии для двух этих точек.

$$\begin{aligned} mv_1 r_1 &= mv_2 r_2 \\ \frac{mv_1^2}{2} - \frac{GmM}{r_1} &= \frac{mv_2^2}{2} - \frac{GmM}{r_2} \end{aligned}$$

Решим данную систему уравнений относительно  $v_1$ , получим:

$$v_1 = \sqrt{\frac{2GM r_2}{r_1 (r_1 + r_2)}}$$

Согласно второму закону Кеплера, секторная скорость является постоянной величиной,  $\frac{dS}{dt} = V_s = \frac{L}{2m} = \frac{1}{2} v_1 r_1 = \sqrt{\frac{GM r_2 r_1}{2(r_1 + r_2)}}$ . Таким образом, для площади эллипса получаем следующее равенство:

$$S = \pi ab = TV_s = T \sqrt{\frac{GM r_2 r_1}{2(r_1 + r_2)}}$$

Воспользуемся следующими свойствами эллипса:

$$r_1 + r_2 = 2a, \quad a^2 - b^2 = c^2, \quad r_1 r_2 = b^2$$

Преобразовав данное выражение, можно получить:

$$\frac{T^2}{a^3} = \frac{4\pi^2}{GM} = \text{const}$$

## 8 Движение тел с сопоставимыми массами (Двойные системы)

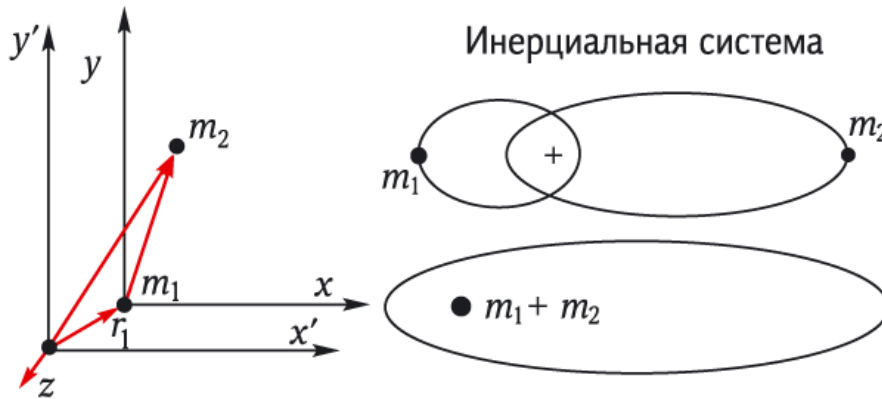


Рис. 3: Двойная звездная система

Двойная звездная система – гравитационно связанные звезды, вращающиеся вокруг центра масс системы. В некоторых случаях расстояние между компонентами двойной

звезды составляет сотни и тысячи астрономических единиц (а.е.) и они движутся по обычным эллиптическим орбитам. В других случаях звезды близки или касаются друг друга (расстояние между ними сравнимо с размерами звезд) и их орбиты оказываются намного сложнее, а приливные эффекты искажают формы звезд. В случае  $a \gg R^*$ , движение звезд в системе подчиняется законам Кеплера, являющимся следствиями закона Всемирного тяготения:

$$m_1 \frac{d\mathbf{V}_1}{dt} \equiv \frac{Gm_1m_2}{r^2} \cdot \frac{\mathbf{r}}{r} \quad \text{и} \quad m_2 \frac{d\mathbf{V}_2}{dt} \equiv \frac{Gm_1m_2}{r^2} \cdot \frac{\mathbf{r}}{r}; \quad \frac{d(\mathbf{V}_2 - \mathbf{V}_1)}{dt} = -\frac{G(m_1 + m_2)}{r^3} \mathbf{r}; \quad \frac{d\mathbf{V}}{dt} = \frac{GM}{r^3} \mathbf{r}. \quad (11)$$

Таким образом, при переносе системы координат в одно из тел гравитационно связанной пары все законы небесной механики (то есть и все законы Кеплера) сохраняются и прекрасно работают, но только при допущении, что в этом теле сосредоточена суммарная масса обоих тел, и именно эту суммарную величину мы из наблюдений можем рассчитать по форме относительной орбиты.

## 9 Бонус пункт: Анализ диаграмм двойных звезд

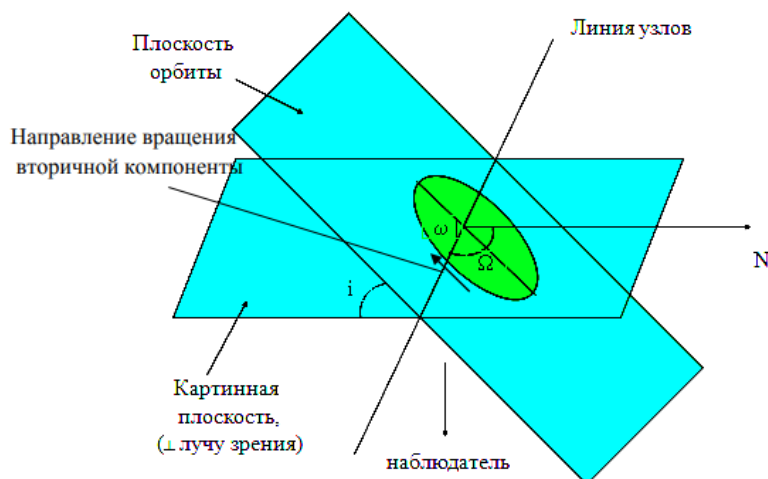


Рис.3. Элементы орбиты двойной звезды

Рис. 4: Ориентация орбиты относительно наблюдателя

По методу наблюдений двойные подразделяются на визуальные, спектральные и затменные. Визуальные двойные системы отличаются тем, что мы наблюдаем обе компоненты и, чаще всего, измеряем их положение в относительной системе координат. В качестве примера приведены наблюдения Сириуса.

Истинная орбита проецируется на картинную плоскость также в виде эллипса, у которого, однако, яркая звезда находится не на большой оси видимого эллипса. Необходима редукция наблюдаемой орбиты к истинной

Спектральная двойная звезда выявляется по движению линий в спектре с орбитальным периодом. Формально смещение линий наблюдается во всех случаях кроме  $i = 0$  (смещение

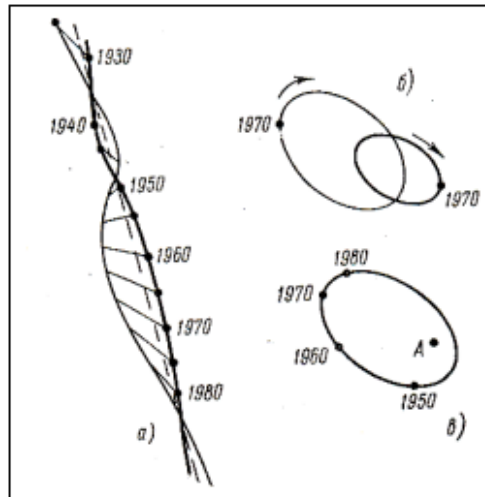


Рис. 5: Слева представлены положения двойной звезды Сириус на небесной сфере за период 1930-1980 гг (а). Справа показаны относительная орбита (в, яркая звезда А в начале координат) и абсолютные орбиты (б) компонент относительно центра масс.

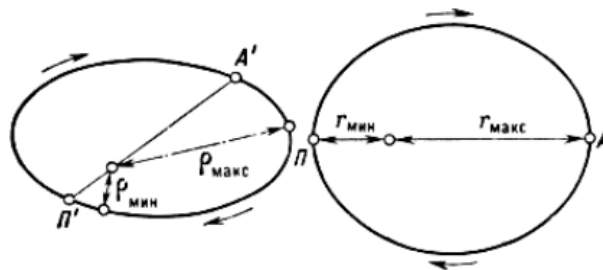


Рис. 6: Преобразование видимого эллипса (слева) в истинный

линий обусловлено эффектом Доплера –  $(\lambda_H - \lambda_0)/\lambda_0 = V_r/c$ , где  $\lambda_H, \lambda_0$  – наблюдаемая и лабораторная длины волн,  $V_r$  – лучевая скорость звезды и  $c$  – скорость света)

В результате измерения лучевых скоростей мы получаем зависимость лучевых скоростей звезд от времени – «кривую лучевых скоростей», RVC. Разные формы орбит и разная их ориентация относительно наблюдателя дают сильно отличающиеся RVC (рис.9)

В случае  $i \approx 0$  в двойной системе могут наблюдаться затмения, которые проявятся в изменениях блеска

Массы компонент визуальной двойной звезды вычисляются по 3 закону Кеплера, зная размеры орбиты  $a$  и период вращения спутника  $T$  относительно главной компоненты (относительная орбита). Как уже указывалось, наблюдаемая орбита является проекцией истинной на картинную плоскость (проекция также является эллипсом, у которого смещены фокусы). Математическое преобразование наблюдаемой орбиты в истинную дает нам угол наклона орбиты  $i$ . В этом случае мы можем по формуле вычислить сумму масс звезд; при этом необходимо знать расстояние до двойной.

Однако только из спектральных наблюдений не удастся определить угол наклона орбиты двойной системы. Применив 3 закон Кеплера, мы получим массы звезд, отягощенные  $\sin^3(i)$

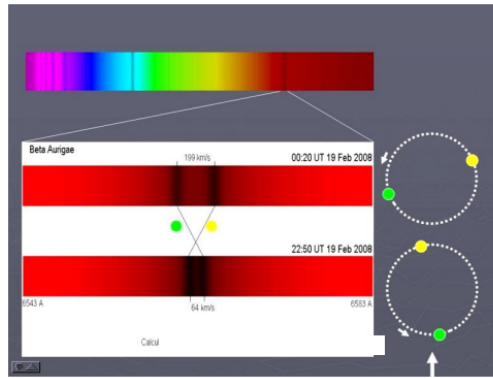


Рис. 7: Реальное смещение спектральных линий  $H\alpha$  двойной AurAB с приблизительно равными компонентами и периодом 3.96d

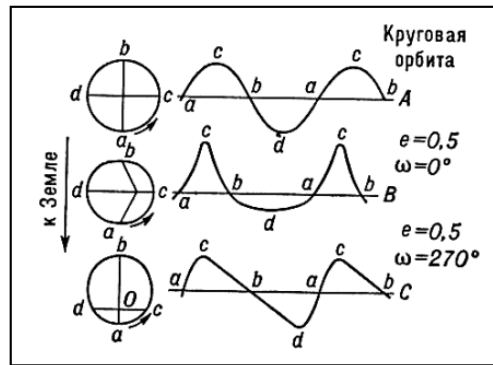


Рис. 8: Вид кривых лучевых скоростей в зависимости от параметров орбиты  $a, e, \omega$ . Показано схематически для случая  $i = 90^\circ$  и одной компоненты.  $V_y = 0$

Наличие затмений в двойной системе позволяет надежно определить угол наклона орбиты: если спектральные наблюдения дополняются фотометрическими, в которых присутствуют затмения, свидетельствующие о том, что  $i \approx 90$ , мы имеем возможность получения точных значений масс звезд. Кроме определения масс, затменные двойные звезды позволяют определять радиусы компонентов.

## 10 Итог

Мы вывели законы Кеплера из закона всемирного тяготения, а также обсудили вопрос определения масс двойных систем с помощью этих законов

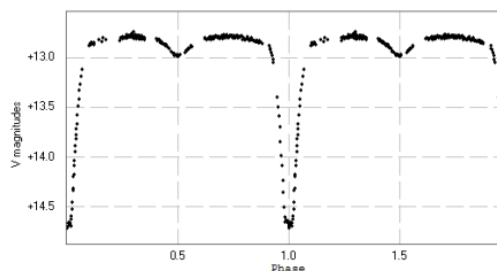


Рис. 9: Кривая блеска затменной типа Алголя